

# DÜŞEY ELEKTRİK SONDAJLARDA İLİŞKİ KATSAYISININ UYGULANMASI

## Application of the Correlation Coefficient to the Electrical Sounding

Rahmi PINAR\* ve Zafer AKÇİĞ\*

### ÖZET

Bu çalışmada; düşey elektrik sondaj noktaları arasındaki benzer yapıların gruplandırılması için Habberjam (1976, 1979) tarafından geliştirilen, benzerlik parametresinin saptanmasındaki kriterlerin, fiziksel anlamının ne olduğu ve jeolojik yapılarla uyumu veya uyumsuzluğu tartışılmıştır. Ayrıca, aynı işlemin benzerlik parametreleri yerine ilişki parametreleri kullanımlarak yapıldığında elde edilen sonuçların kuramsal model ve jeolojik yapılardaki uyumu araştırılmıştır. Bu amaç doğrultusunda, oluşturulan kuramsal elektrik ortam modellerine Habberjam (1976) yöntemi uygulanarak benzerlik parametresi yardımıyla benzer ortamlar saptanmaya çalışılmıştır. Ancak elde edilen sonuçlar incelendiğinde; uygulamada "C" katsayısının seçimindeki kriter eksikliği nedeni ile yöntemin her yapıda aynı sonucu vermediği ve bazen benzer ortamlarda da farklı "C" katsayılarının elde edildiği gözlenmiştir. Bu çelişkiyi gidermek için aynı işlem, benzerlik parametresi yerine fiziksel olarak daha anlamlı olan ve istatistikte yaygın olarak kullanılan ilişki katsayısının uygulanması ile elde edilmiştir. Elde edilen sonuçlar incelendiğinde, ilişki katsayılarının çok daha anlamlı ve iyi sonuç verdiği gözlenmiştir. Ayrıca ilişki katsayısının değişik uygulamaları (kayan pencere, ilişkilendirme, vb.) yardımıyla, iki katmanlı ortamlarda katmanları ayırmada ve değişik derinliklerdeki yatay süreksızlıkların saptanmasında oldukça başarılı sonuçlar elde edildiği görülmüştür.

Model veriler üzerinde gerçekleştirilen başarılı uygulamalar sonucu yöntem gerçek arazi verileri üzerinde de uygulanmıştır. Yapılan uygulamalar sonucu yöntemin; gerek benzer ortamların ayrılığında gerekse jeolojik olarak gözlenmiş yanal süreksızlıkların saptanmasında oldukça başarılı ve duyarlı sonuçlar verdiği saptanmıştır.

### ABSTRACT

In this study, the physical sence of the criteria in determining the likeness parameter developed by Habberjam (1976, 1979) with a view to grouping similar bodies between vertical electrical sounding points, has been discussed as well as how fit these criteria for geological structures. With the same view, by applying Habberjam method to the theoretic electric domain models formed, we tried to determine similar domains through likeness parameter. However, when we examined the results we observed that the method didn't give the same results in each structure; due to the lack of criteria in choosing the "C" coefficient in application and it was also observed that the "C" coefficient sometimes differed even in similar domains. Because of this contradiction, the same procedure was tried by using correlation coefficient that are more reasonable and commonly used in statistic, as a consequence of which the correlation coefficients were observed to have given much better results. Moreover, by using various applications of correlation coefficients (such as moving window, correlation etc..) many successful results were obtained in separating the layers in two-layer domains and determining horizontal discontinuity in various depths.

Owing to the successful applications on theoretical data, the same method was applied on field data, and it was proved to be rather successful since (as) it gave precise results both in separation of similar domains and determination of layers in two-layer domains in addition two the determination of horizontal discontinuity, geologically observed.

## GİRİŞ

Kayaçların yatay ya da düşey yöndeki elektriksel iletkenliklerinden yararlanarak jeolojik yapının ortaya konması elektrik yöntemlerin uygulanmasındaki temel amaçtır.

Bu amaç doğrultusunda arazide gerçekleştirilen ölçümeler sonucu elde edilen görünürlüklerin değerleri, çeşitli değerlendirme yöntemleri (abak, çakıştırma, modelleme vb.) yardımıyla değerlendirilerek, ortamda katmanlara ilişkin kalınlık ve özdirenç parametreleri saptanır. Saptanan bu parametrelerden yararlanarak ortama ilişkin kuramsal jeolojik model ortaya konur.

Ancak, araziden elde edilen verilerin yukarıda de濂ilen yöntemler kullanılarak yorumlamadan önce, bu tür bir ön değerlendirme yöntemi uygulanarak, en baştaki düşey elektrik sondaj (DES) eğrilerinin gruplandırılması araştırıcıya oldukça büyük kolaylıklar sağlayacaktır.

Habberjam (1976), bu noktadan hareketle aynı dizim sistemlerini (Wenner  $\alpha$ ,  $\beta$  ve kare dizimleri) kullanılarak yapılan elektrik sondajları, logaritmik değişimlerin temelindeki ilişki yardımıyla karşılaştırmış ve " $A_{ij}$ " ile gösterilen benzerlik parametresini geliştirmiştir.

Çakır (1984), benzerlik parametresini İzmir-Seferihisar yöresine ait özdirenç düşey elektrik sondaj verilerine uygulamıştır. Aynı yöntemi Kutlu (1987), Aydin-Germencik jeotermal alana ait özdirenç derinlik sondajı verilerine uygulayarak, sondaj noktaları arasında karşılaştırma işlemini gerçekleştirmiştir.

Habberjam (1979) da çalışmasını biraz daha ilerleterek aynı dizim türlerinin çeşitli jeolojik yapılarındaki davranışlarını inceleyerek benzerlik parametresine ait sınırlamaları vermiştir.

Bu çalışmada ise Habberjam (1979) un uyguladığı kare ve Wenner dizimleri yerine Schlumberger dizimini kullanılmıştır. Söz konusu yöntem model veriler üzerinde denenerek benzer ortamların ayrılmasına çalışılmıştır. Elde edilen sonuçlar irdelendiğinde, yöntemin her yapıda olumlu sonuç verdiği ve bazen benzer ortamlarda farklı yorumlandığı gözlenmiştir. İlk adımda, aynı işlem model verilerde, fiziksel olarak daha anlamlı olan ilişki katsayıları kullanılarak gerçekleştirilmiştir. Elde edilen sonuçlar karşılaştırıldığında, ilişki katsayıları uygulamasının daha başarılı sonuçlar verdiği gözlenmiştir. Bu yöntem uygulandıktan sonra de濂ik uygulamalara geçilmiştir. İlk adımda, belirli bir derinlik penceresi kullanılarak de濂ik derinliklerdeki özdirenç değerlerinin karşılaştırılması yapılarak yanal süreksızlıkların saptanmasına çalışılmıştır. İlk adımda ise derinlik penceresi aynı bir DES eğrisi üzerinde kaydırılarak, katmanlı yapıarda katman kalınlıklarının saptanmasına çalışılmıştır. Uygulamanın son adımda ise yöntem gerçek arazi verilerine uygulanmıştır. Öncelikle jeolojik olarak saptanan bir fayın yeri bu yöntem yardımıyla jeofizik verilerle de saptanarak arazi verilerinde de kolaylıkla uygulanabilirliği gösterilmiştir.

Geliştirilen yöntemin başarısı bu şekilde kanıtlandıktan sonra de濂ik uygulamalara geçilmiştir. İlk adımda, belirli bir derinlik penceresi kullanılarak de濂ik derinliklerdeki özdirenç değerlerinin karşılaştırılması yapılarak yanal süreksızlıkların saptanmasına çalışılmıştır. İlk adımda ise derinlik penceresi aynı bir DES eğrisi üzerinde kaydırılarak, katmanlı yapıarda katman kalınlıklarının saptanmasına çalışılmıştır. Uygulamanın son adımda ise yöntem gerçek arazi verilerine uygulanmıştır. Öncelikle jeolojik olarak saptanan bir fayın yeri bu yöntem yardımıyla jeofizik verilerle de saptanarak arazi verilerinde de kolaylıkla uygulanabilirliği gösterilmiştir.

## YÖNTEMLER

Bu bölümde önce benzer yapıların karşılaştırılması için geliştirilmiş benzerlik parametresi yöntemine, daha sonra bu çalışma içeriğinde geliştirilen ilişki katsayıısı ve kıyaslama penceresi yöntemlerine sırasıyla de濂ilecektir.

### Benzerlik Parametresi

Arazide ölçülen görünürlüklerin elektrod aralığına bağlı olarak değişimi, jeolojik yapı hakkında bilgi edinmemize yardımcı olur. Uygulamada yaygın olarak kullanılan dizim türleri ile yapılan özdirenç ölçümlerde (Schlumberger, Wenner, Kare vb.) logaritmik ölçekte kulanımı uygun bir kriter olarak kabul edilmiş ve özdirençteki değişim oranının, özdirenç büyüklüğünden etkilenmesinin önüne geçilmiştir. Böylece aynı dizim sistemi kullanılarak gerçekleştirilen düşey elektrik sondaj (DES) verileri logaritmik değişimlerin temelindeki bu ilişki yardımıyla kıyaslanabilir (Şekil 1).

Logaritmik değişimlerin temelindeki ilişki,  $A_{ij}$  ile simgelenen "benzerlik parametresi" yardımıyla aşağıdaki bağıntı ile verilir (Habberjam, 1976).

$$A_{ij} = \frac{1}{n+1} \sum_{k=0}^n [\log_{10} \rho_a(k, i) - \log_{10} \rho_a(k, j)]^2 \quad (1)$$

Bu bağıntıda;  $\rho_a(k, i)$  : i sondajının r'inci açılımındaki ve  $\rho_a(k, j)$  : j sondajının r'inci açılımındaki özdirenç değeridir.

$A_{ij}$  ile simgelenen benzerlik parametresinin temel özellikleri ise :

1. i ve j sondaj eğrileri, hem şekil hem de büyülük yönünden aynı ise logaritmalarının farkı sıfırdır ( $A_{ij} = 0$ ). Yani her iki ortam tam olarak benzerdir.

2. Düşük özdirençli ortamlardaki iki DES eğrisine ait  $A_{ij}$  nin değişim oranı, yüksek özdirençli ortamlardaki iki DES eğrisine ait  $A_{ij}$  ile aynı olacaktır. Yani düşük özdirenç ve yüksek özdirenç seviyelerindeki benzerlik farkı olmayacağı.

3. Eğer ortamlar hem yüksek hem de düşük özdirenç seviyeleri içeriyorsa, diğer bir deyişle ortamlar karışık ise benzerlik farkı olacaktır, şeklinde tanımlanmaktadır.

Benzerlik parametresini uygulayabilmek için iki boyutlu bir yapı üzerinde saptanın DES noktaları gözönüne alınır (Şekil 2b). Örnek olarak alınan şekil gözönüne alındığında bazı benzer yerlerin varolduğu açıkça görülmektedir. Benzerlik parametresi yardımıyla bu benzer yerlerin ayırtlanabilmesi için DES noktalarının karşılaştırılması gereklidir. Bu karşılaştırma işleminin yapılabilmesi için araziden (veya modelden) elde edilen DES verilerinden yararlanılarak  $A_{ij}$  profilleri (i sabit) oluşturulur (Şekil 2a). Oluşturulan bu profiller üzerinde sabit bir C düzeyi saptanır. C düzeyinin sağlıklı olarak saptanabilmesi için inceleme alanının jeolojisi iyi bilinmelidir. Ayrıca bir sabit olan C'nin, olabildiğince küçük seçilmesi gereklidir (uygulamada bu düzey 0.01 veya 0.03 olarak alınmaktadır). Sonuçta  $A_{ij} < C$  koşuluna uygun noktaların benzer olduğu kabul edilir (Habberjam, 1976).

### İlişki (Korelasyon) Katsayıısı

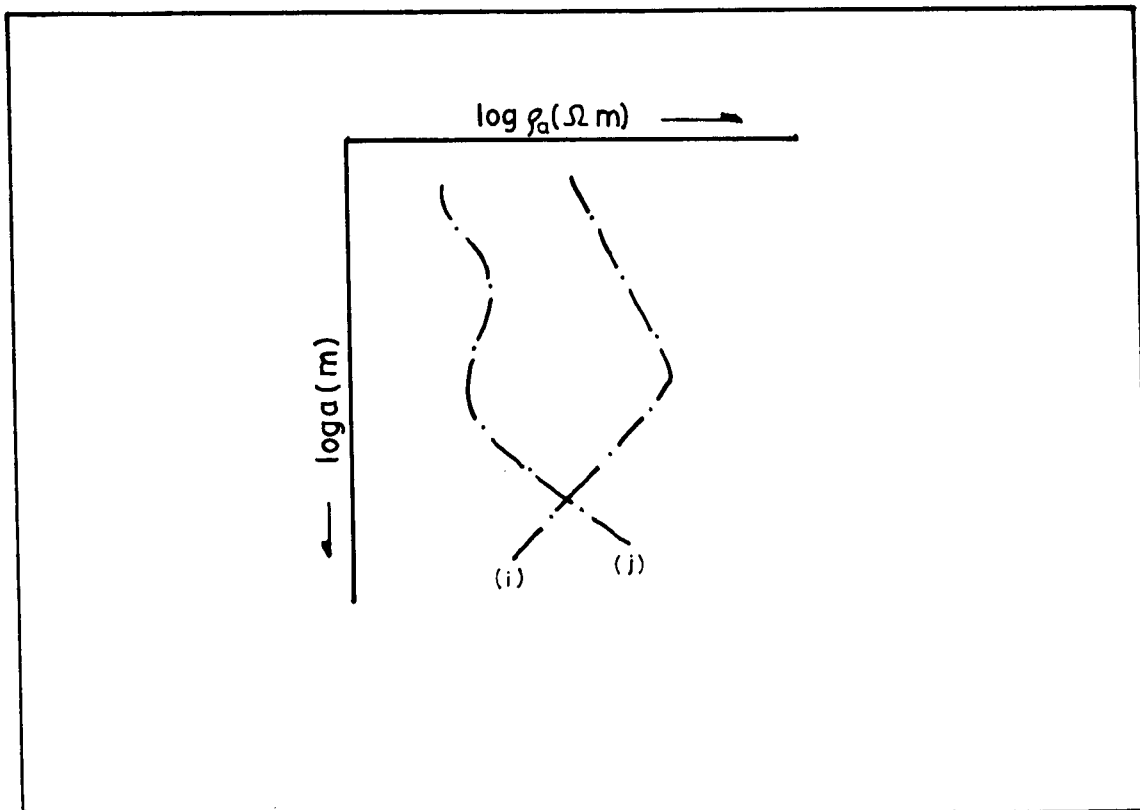
Istatistikte yaygın olarak kullanılan ilişki katsayıısı; iki sondaj eğrisi (i ve j) arasında ortak değişintinin (otokovaryans), sondaj eğrilerinin herbiri standart sapmalarının çarpımına oranı olarak tanımlanır ve

$$R_{ij} = \frac{K_{ij}}{\sigma_i \sigma_j} \quad (2)$$

bağıntısı ile verilir.

Bu bağıntıda;  $K_{ij}$ , i ve j sondaj arasındaki ortak değişintiyi,  $\sigma_i$  ve  $\sigma_j$  ise i ve j sondaj eğrilerinin standart sapmalarını, göstermektedir.

(2) bağıntısında  $K_{ij}$  ile simgelenen ortak değişinti; i ve j sondaj eğrilerinin ortalamaları çevresinde beraberce gösterdi-



**Şekil 1.** İki sondaj eğrisinin karşılaştırılmasının log-log olarak gösterilmesi (Habberjam 1976).  
**Fig. 1.** Log-log representation for comparison of two soundings (after Habberjam 1976).

leri değişimin bir ölçüsüdür ve her bir sondaj eğrisinin ortalamadan olan farklarının toplamı olarak tanımlanır.

$$K_{ij} = \sum_{k=1}^N [\rho_a(k, i) - \bar{\rho}_a(i)] [\rho_a(k, j) - \bar{\rho}_a(j)] \quad (3)$$

Burada;  $\rho_a(i)$  ve  $\rho_a(j)$ ,  $i$  ve  $j$  sondaj eğrilerinin aritmetik ortalamalarını göstermektedir. Ancak (3) bağıntısı hesaplamada oldukça uzun işlemleri gerektirdiğinden, uygulamada hesaplama açısından daha kolaylık sağlayan aşağıdaki bağıntı kullanılır.

$$K_{ij} = \frac{1}{N-1} \left[ \sum_{k=1}^N [\rho_a(k, i), \rho_a(k, j)] - \frac{\sum_{k=1}^N \rho_a(k, i) \sum_{k=1}^N \rho_a(k, j)}{N} \right] \quad (4)$$

(2) bağıntısı ile tanımlanan ilişki katsayısi ölçü birimlerine bağlı değildir ve boyutsuzdur. İlişki katsayısının değeri  $-1$  ile  $+1$  arasında değişir.  $+1$  değeri iki sondaj eğrisi arasında tam ( $\% 100$ ) bir ilişkinin bulunduğu, sıfır değeri ise iki eğri arasında hiçbir ilişkinin bulunmadığını gösterir. İlişki katsayısının  $-1$  ( $-\% 100$ ) olması ise iki değişken arasında ters bir ilişkinin varlığını gösterir. Yani özdirenç veya kalınlıklardan birinin değeri küçülürken, diğerinin büyümesi anlamına gelir. Ancak bu çalışmada böyle bir durumla karşılaşmamak için uygulamada kullanılan model yapı kalınlıkları sabit seçilmişdir.

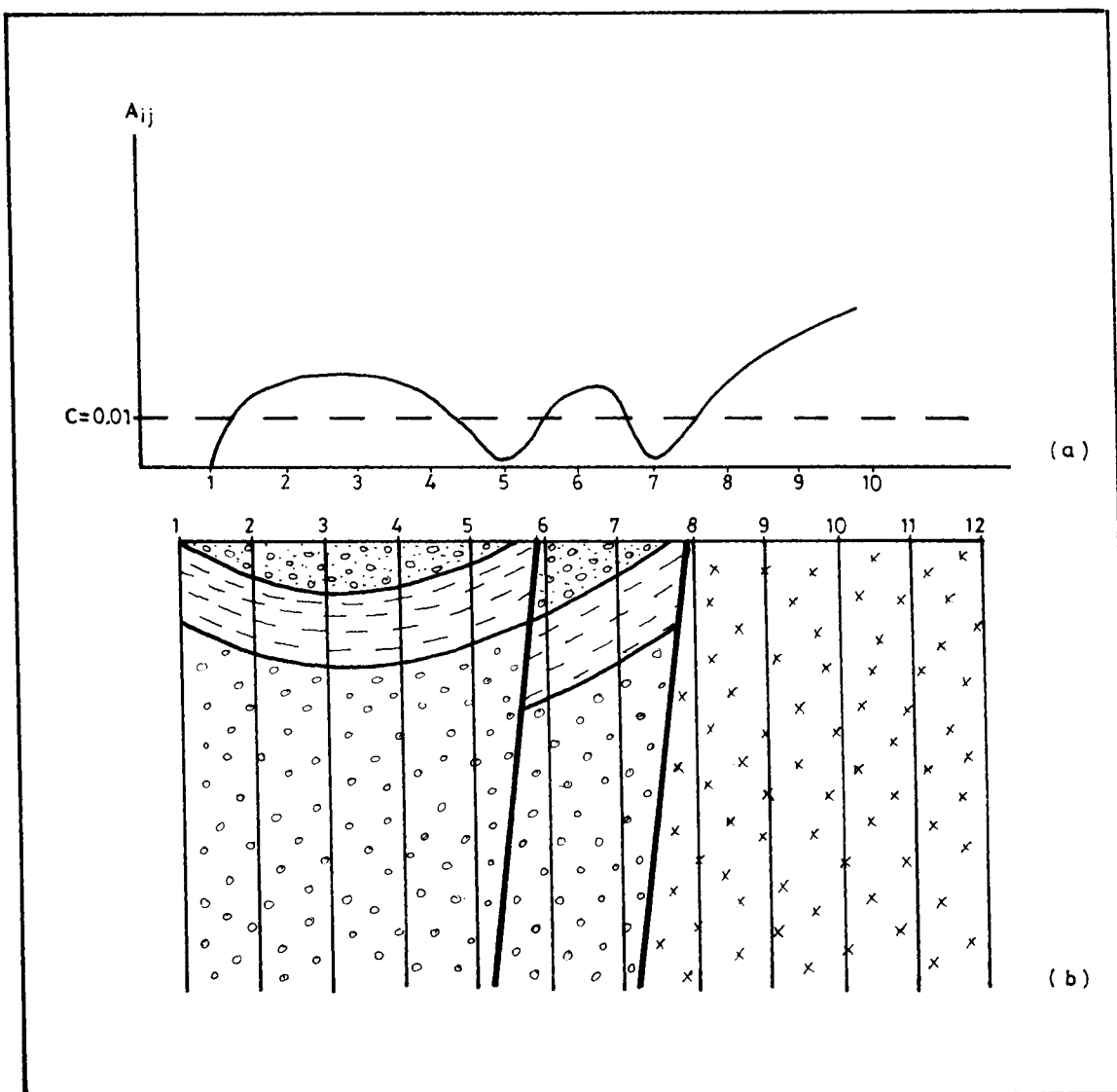
### Kıyaslama Penceresi

Benzerlik parametresi ve ilişki katsayısi uygulamaları, bir alanda yapılan aynı kotlu DES'lar arasında, tüm derinlikler için uygulanıldığı gibi, seçilen belli derinlik aralığındaki özdirenç değerleri arasında da yapılabilir. Burada gerçekleştirilen işlem bir derinlik pencerelemesi işlemidir. Bu işlem içeriğinde seçilen derinlik aralığı, kıyaslama penceresi olarak isimlendirilir. Bu derinlikler derinlere doğru değiştirilerek de çeşitli DES noktaları (örneğin  $i$  ve  $j$  sondajları) arasında, değişik derinliklerdeki uyumlu ve uyumsuz kesimler ayırt edilebilir.

Kıyaslama penceresi, ilişki sınımasına çeşitli DESler arasında uygulanıldığı gibi, aynı bir DES üzerinde uygulanarak tabaka kalınlıklarının saptanmasında da kullanılabilir. Bu işlemin gerçekleştirilebilmesi için ise birinci katmanın kalınlığının yaklaşık olarak biliinmesi, DES eğrisinin eşit aralıklarla örneklendirilmesi ve pencere olarak birinci katmanın kalınlığını geçmemesi gereklidir. Bu koşullar çerçevesinde saptanan pencere, içindeki değerler değiştirmek koşulu ile aynı bir DES eğrisi üzerinde kaydırılarak, ilişki sınıması işlemi gerçekleştirilir. Böylece DES eğrisi üzerinde karşılaştırma işlemi yapılarak, düşey yöndeki değişimler incelenerek tabaka kalınlıkları saptanabilir.

### UYGULAMA

Bu çalışma içerisinde uygulama iki aşamada gerçekleştirilmiştir. Birinci aşamada, değişim yöntemler, oluşturulan değişik kuramsal model yapılarından elde edilen, DES eğrileri üzerinde uygulanarak yöntemlerin başarı ve başarısızlıklarını araştırılmıştır. İkinci aşamada ise ilişki katsayıyı yöntemi uy-



**Şekil 2.** Yapıya benzerlik parametresi uygulanması (a), jeolojik profil (b) (Habberjam 1976).  
**Fig. 2.** Application of the likeness parameter to the geological section (a), geological section (b) (after Habberjam 1976).

gulaması Kuşadası yöresinden alınmış gerçek arazi verileri üzerinde denenmiş elde edilen sonuçların jeolojik yapıyla karşılaştırması yapılmıştır.

### Model Uygulamaları

Model çalışma uygulamalarında, yatay katmanlanma sunan üç değişik tür model oluşturulmuştur (Şekil 3, 6 ve 9). Modeller düşeyde yatay katmanlanma, yatayda ise süreklişılıklar içermektedir. Bu çalışmadaki amaç, yatay süreklişılıkların saptanmasıdır. Dolayısı ile yatay süreklişılıkların etkisinden kurtulmak için özdirenç açılımları süreklişılık sınırlarına koşut seçilmiştir. Modeller üzerindeki DES noktalarına ait kuramsal görünür özdirenç değerleri Ghosh (1970) yaklaşımı kullanılarak bilgisayar yardımıyla hesaplanmıştır. Hesaplamada kullanılan model parametreleri ise ait oldukları modeller üzerinde verilmektedir.

Hesaplanan bu değerler, (1) ve (2) bağıntılardan yararlanarak oluşturulan bilgisayar programında giriş verisi ola-

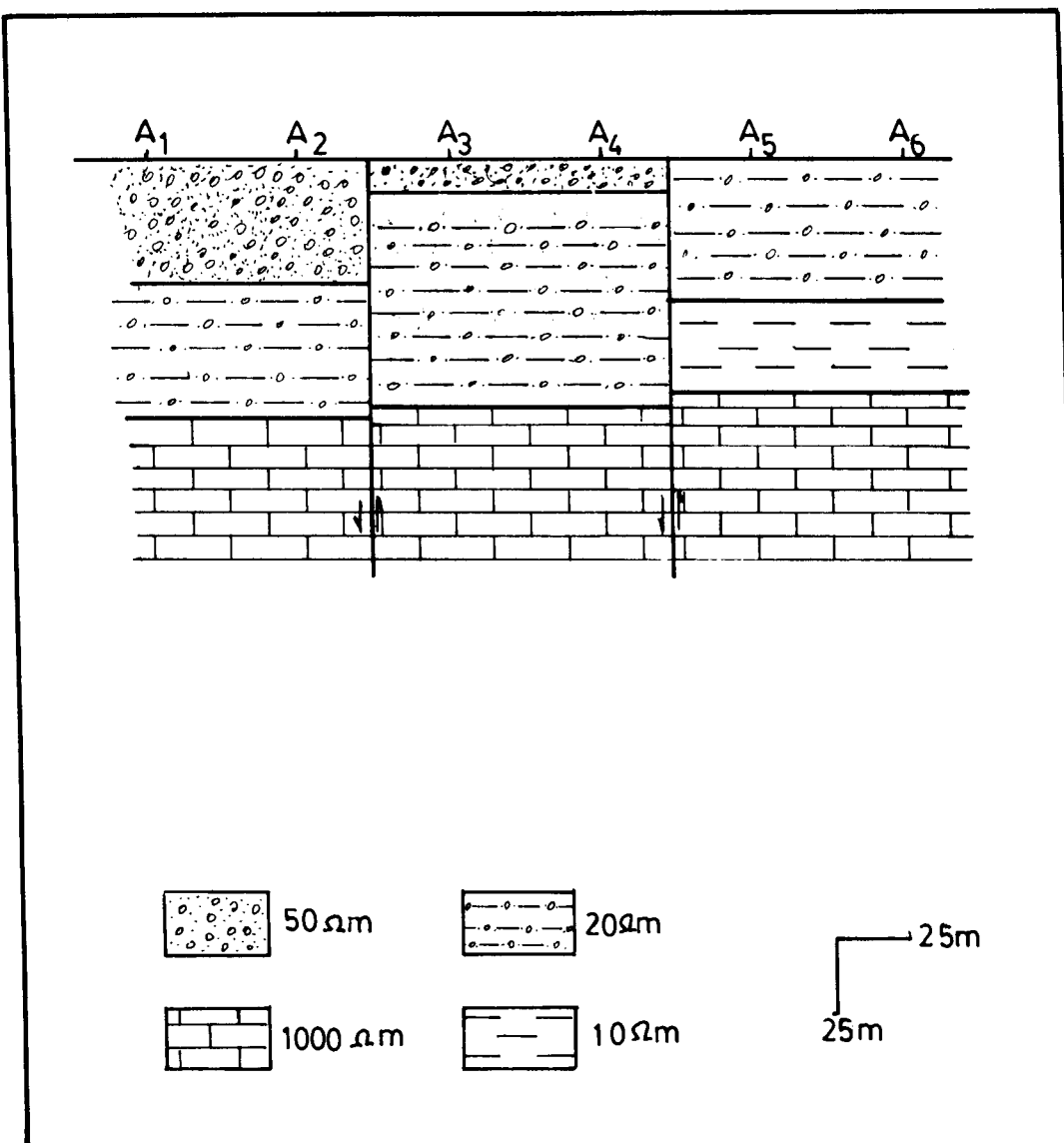
rak kullanılarak, izleyen bölgelerde ayrıntılı olarak dephinilecek değişik uygulamalar gerçekleştirılmıştır.

### Benzerlik Parametresi ve İlişki Katsayıları Uygulaması

Uygulamanın ilk adımında Şekil 3'te görülen yatay katmanlı modellen elde edilen veriler üzerinde, benzerlik parametresi ve ilişki katsayısı uygulaması, tüm derinlikler (1 - 120 m) için gerçekleştirilmiştir (Şekil 4).

Şekil 4 ve benzer diğer sekillerde düşey eksen ( $A_{ij}$  ve  $R_{ij}$ ), karşılaştırılmanın yapıldığı (i noktası) DES'na ait benzerlik parametresi veya ilişki katsayısıdır. Yatay eksen (j) ise bu karşılaştırmanın yapıldığı her bir DES gözlem noktası numarasıdır.

Elde edilen sonuçlar incelendiğinde, benzerlik parametresi uygulamasında 1 ile 2, 3 ile 4 ve 5 ile 6 nolu DES'lar birbirine benzediği görülmektedir. Buna karşın oluşturulan modellen de izlenebileceği gibi 1 ile 2 ve 3 ile 4 nolu DES'lar arasında gözlenen genel benzerlik, benzerlik parametresi uy-



Şekil 3.  $A_1$ - $A_6$  kesidine ait yatay katmanlı model yapı.  
Fig. 3. The structure model of the horizontal layers on  $A_1$ - $A_6$  profile.

gulamasında C kriterinin ( $= 0.01$ ) seçiminden dolayı izlenmemektedir.

İlişki katsayısı uygulamasında ise 1 ve 2, 3 ve 4, 5 ve 6 nolu DES lar arasında tam bir ilişkinin (% 100) varlığı gözlemlerinde ayrıca, 1 ve 2 ile 3 ve 4 nolu DES larda gözlenen belirli bir orandaki uyumu varlığı ilişki uygulamaları sonuçlarından da izlenmektedir.

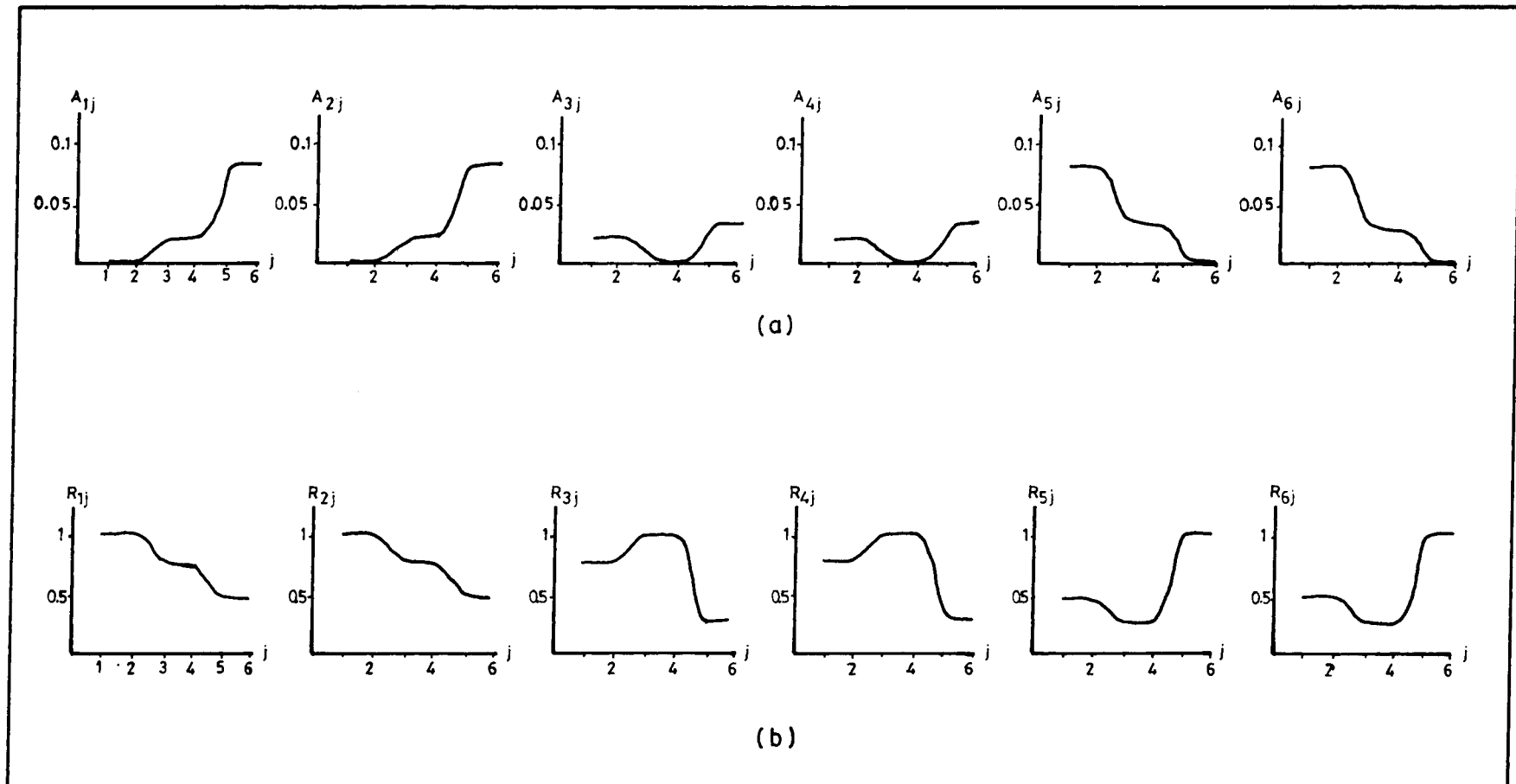
Uygulamanın ikinci adımda ise ilişki katsayıyı yöntemi, Şekil 3 teki model verilerine, kıyaslama penceresi yardımıyla değişik derinlikler için (1-20 m, 20-70 m ve 70-120 m) uygulanmıştır. Elde edilen sonuçlar Şekil 5 te görülmektedir.

Şekil incelemişinde sonuçların genelde başarılı olmasına karşın bazı ilginç noktalarla da karşılaşmaktadır. Örneğin ilk pencere uygulamasında (1-20 m), 1 ve 2 nolu DES lar ile 5 ve 6 nolu DES lar arasında tam bir uyumun varlığı görülmektedir. Oysa gerçekte bu iki DES nokta gruplarının altında fark-

lı jeolojik yapılar bulunmaktadır. Bu durum ise, jeolojik yapıların farklı (özdirençler farklı) olmasına karşı aynı tip özdirenç eğresi sunmaları ile açıklanmaktadır. Benzer yorumlar, ikinci derinlik penceresi için de (20-70 m) yapılabilir. Son derinlik penceresi (70-120 m) uygulamasında ise elde edilen sonuçlar tam bir uyum içindedir.

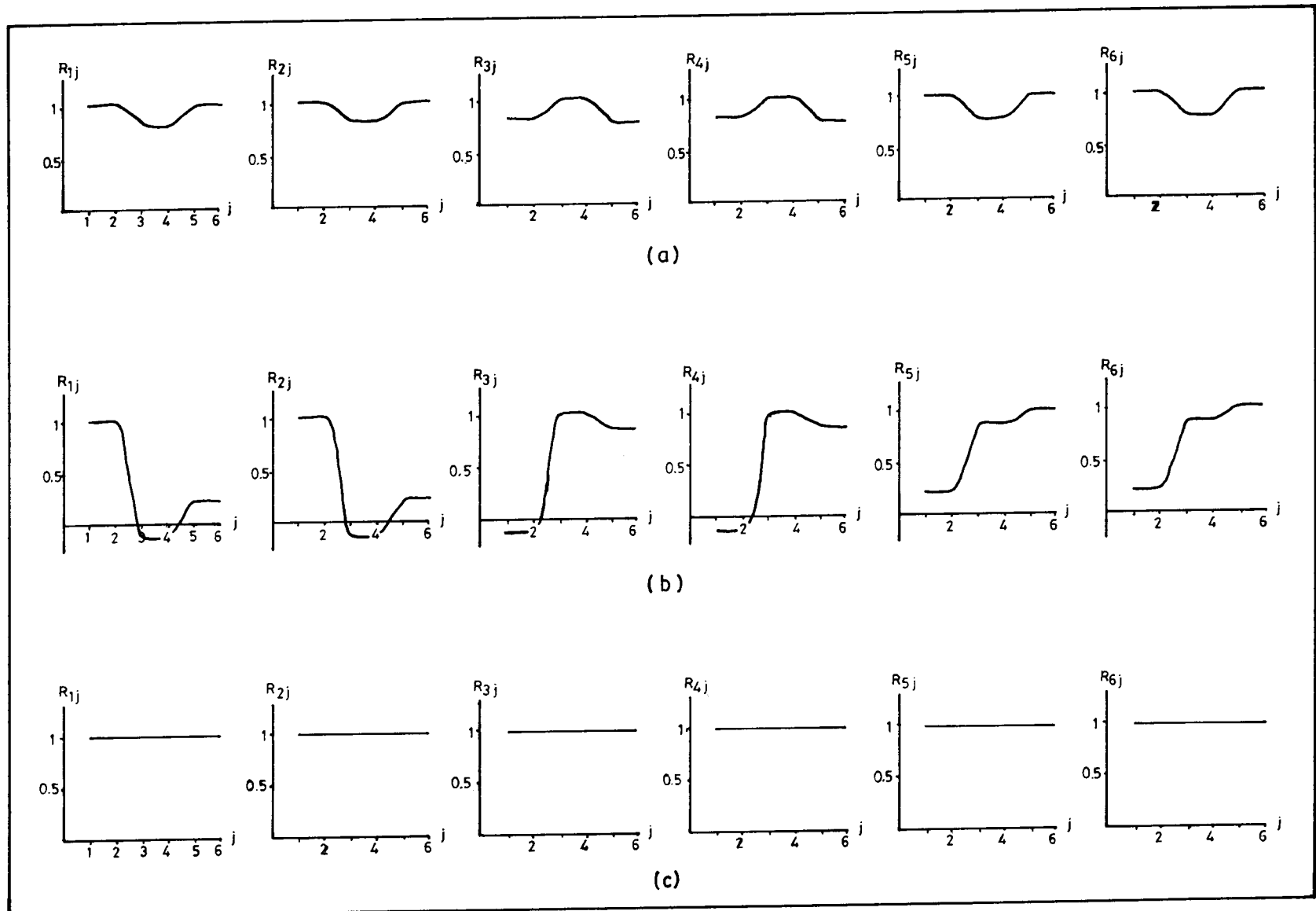
Uygulamanın bu adımda, bir önceki uygulamaya benzer şekilde oluşturulan model üzerinde (Şekil 6), sırasıyla önce tüm derinlikler için benzerlik parametresi ve ilişki katsayısı, daha sonra da üç değişik derinlik için kıyaslama penceresi (1-20, 20-70 ve 70-120 m) yardımıyla ilişki katsayısının konumu araştırılmıştır. Elde edilen sonuçlar Şekil 7 ve 8 de verilmektedir.

Elde edilen sonuçların incelenmesinden, bir önceki uygulamada elde edilen bulgulara benzer bulguların burada da elde edildiğini söylemek olanaklıdır. Ayrıca burada gözlenen

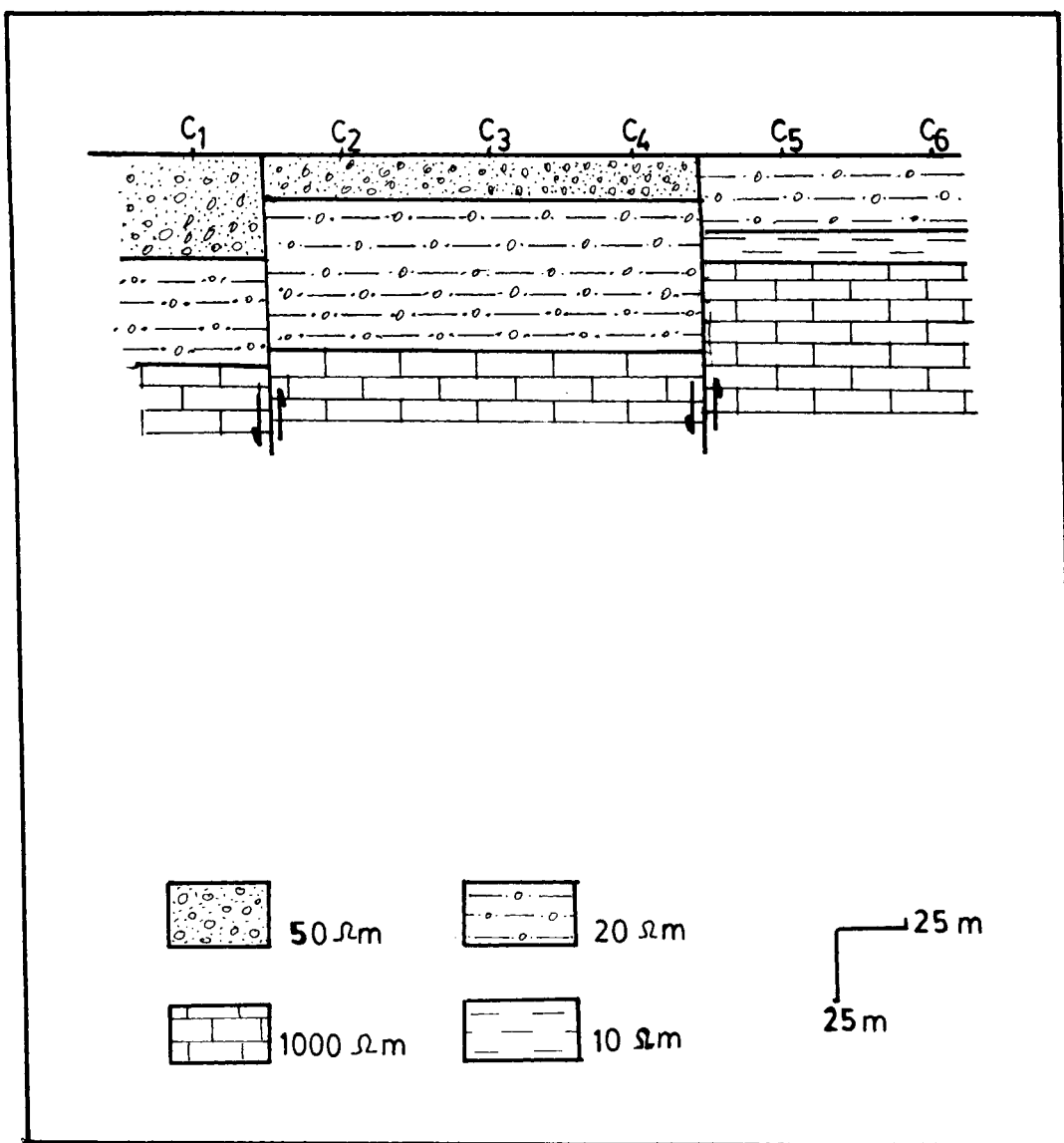


Şekil 4. Tüm derinlikler için benzerlik parametresi ve ilişki katsayısının  $A_1-A_6$  kesidine uygulanması (a. benzerlik parametresi b. ilişki katsayı).

Fig. 4. Application of the likeness parameter and correlation coefficient to  $A_1-A_6$  profile for all depths (a. likeness parameter b. correlation coefficient).



Şekil 5. Kiyaslama penceresinin  $A_1-A_6$  kesidine uygulanması (a.  $1 < h < 20$  m, b.  $20 < h < 70$  m, c.  $70 < h < 120$  m).  
 Fig. 5. Application of the comparison window to  $A_1-A_6$  profile (a.  $1 < h < 20$  m, b.  $20 < h < 70$  m, c.  $70 < h < 120$  m).



Şekil 6. C<sub>1</sub>-C<sub>6</sub> kesidine ait yatay katmanlı model yapı.  
Fig. 6. The structure model of the horizontal layers on C<sub>1</sub>-C<sub>6</sub> profile.

yanal süreksizliğin (Şekil 6, C4 ve C5 noktaları arası) ilişki uygulamasında belirgin bir şekilde sıfır veya ters ilişki ile simgelenmesidir (Şekil 7). Bu gruptaki uygulamanın son adımları ise değişik tür eğri (biri azalırken, diğeri artan) oluşturabilecek bir modelden (Şekil 9) yararlanılarak, benzerlik parametresi ve ilişki katsayısi önce tüm derinlikler için daha sonra da ilişki katsayısi, kıyaslama penceresi yardımıyla (1-20, 20-70, 70-120 m) değişik derinlikler için uygulanmıştır. Elde edilen sonuçlar Şekil 10 ve 11'de verilmektedir.

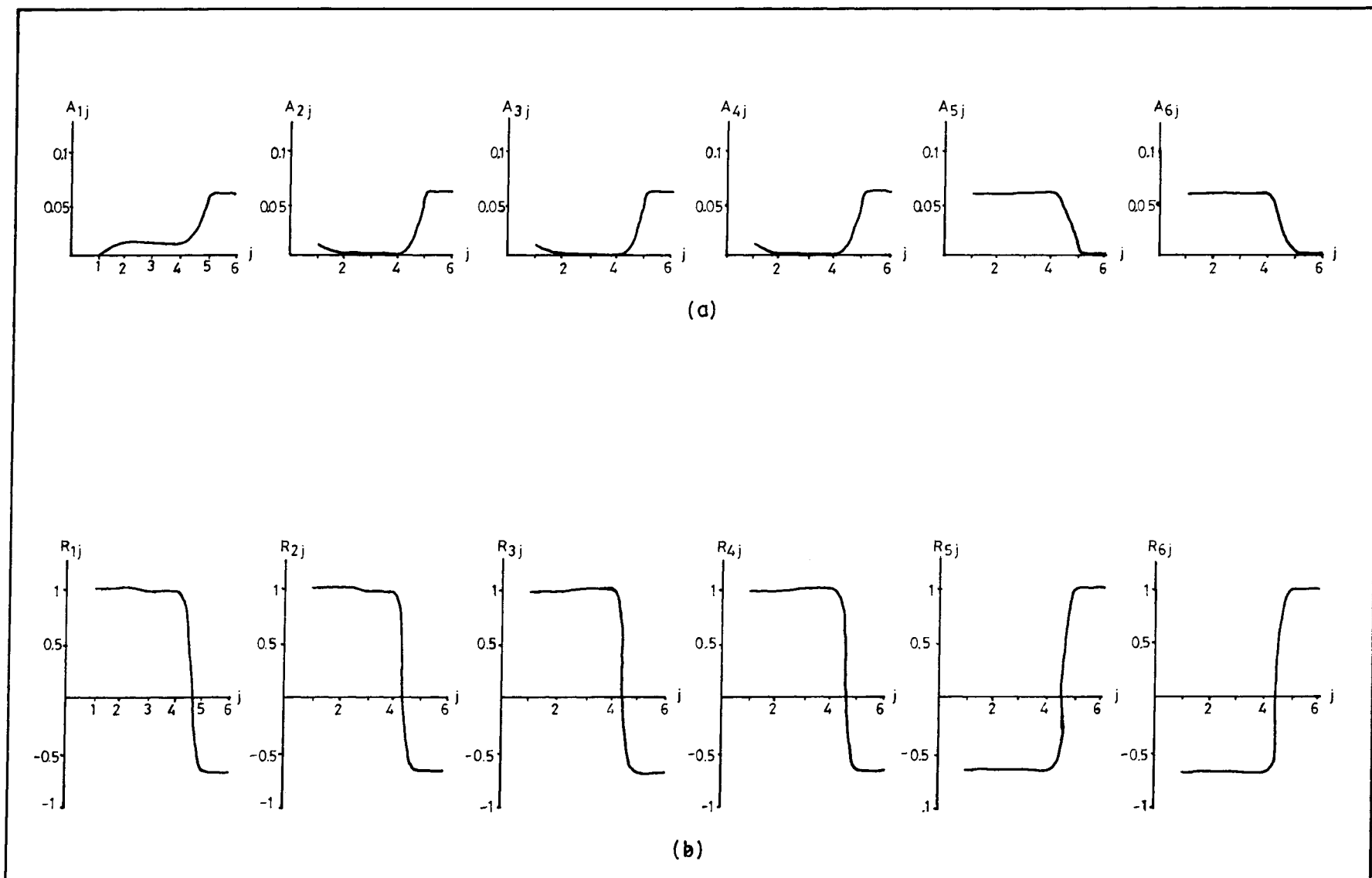
Bulgular değerlendirildiğinde, modeldeki D<sub>1</sub>, D<sub>2</sub>, D<sub>3</sub> ve D<sub>4</sub> noktalarında gözlenen genel benzerlik ilişki katsayısi uygulamasında belirgin bir şekilde saptanırken aynı durum Habberjam yöntemi sonuçlarından gözlenmemektedir. Ayrıca bir önceki uygulamada gözlenen, farklı yapılar arasındaki yanal süreksizliğin sıfır veya ters ilişki ile simgelenmesi olayı, bu model sonuçlarından elde edilen bulgulardan da (Şekil 9, D<sub>4</sub> ve D<sub>5</sub> arası) belirgin bir şekilde gözlenmektedir.

Ancak buraya degen elde edilen sonuçlarda gözardı edilmemesi gereken nokta ise, ilişki katsayısi yönteminin, farklı yapılar arasındaki yanal süreksizlikleri saptamada gösterdiği başarısı, aynı tür yapılar içindeki süreksizliklerin (örneğin Neojen içi faydalannalar) saptanmasında göstermediğidir.

#### İqliki Katsayıyı Yardımıyla Katman Parametrelerinin Saptanması

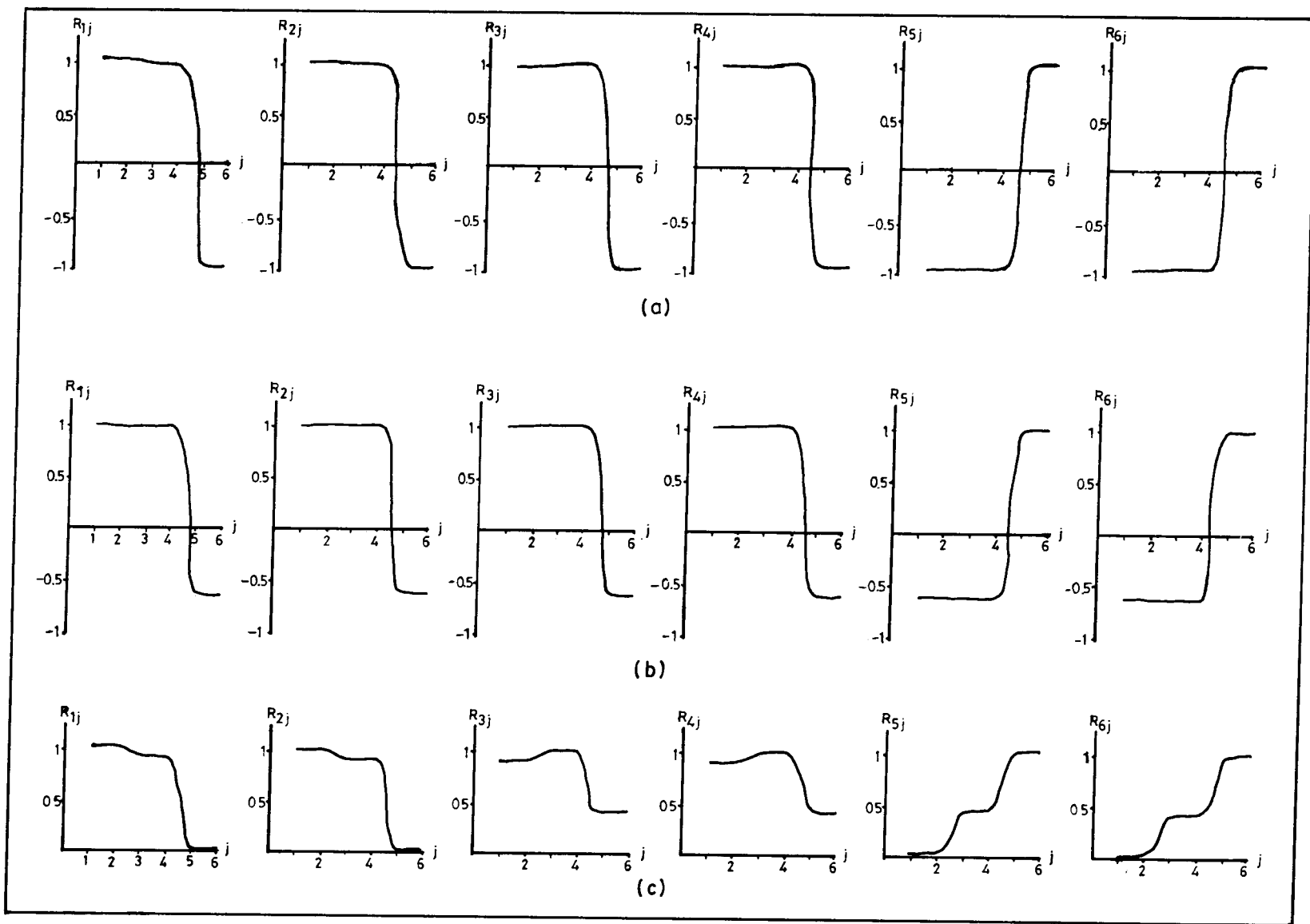
İqliki katsayısı farklı DES lar arasında uygulanabildiği gibi aynı bir DES üzerinde uygulanarak, katmanlara ait kalınlık parametrelerinin saptanmasında kullanılabilir. Bu amaç doğrultusunda yöntem, Şekil 3 te görülen A<sub>3</sub> ve Şekil 12 de görülen B<sub>3</sub> ve B<sub>6</sub> DES larına uygulanmıştır. Elde edilen sonuçlar Şekil 13, 14 ve 15 de verilmektedir.

Uygulamada önce DES eğrileri eşit aralıklarla örneklenmiştir. Eşit aralıklarla örneklenen eğriler üzerinde uygulanacak kayan pencere boyu 15 m ve kayma miktarı ise 10 m ola-

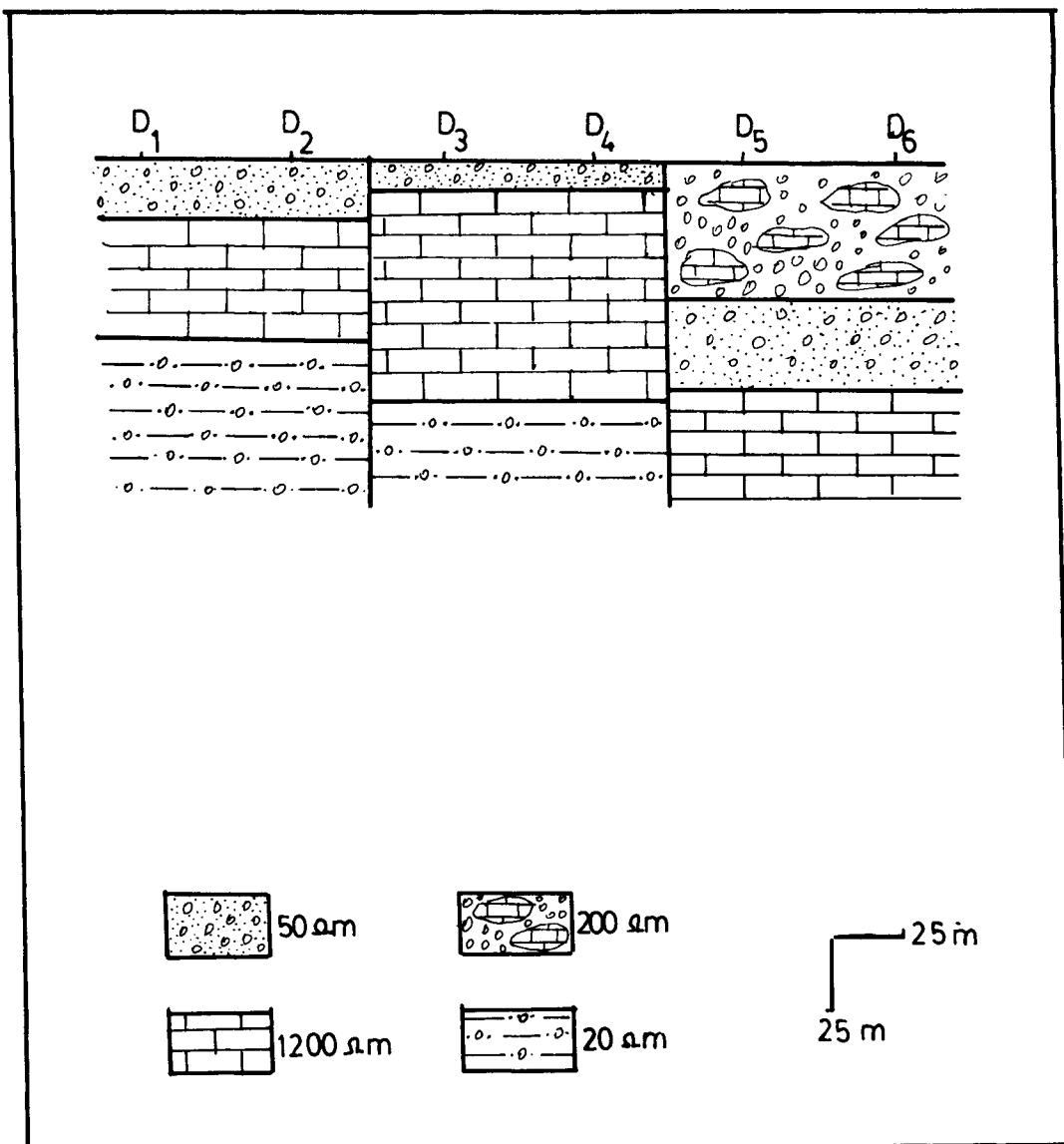


Şekil 7. Tüm derinlikler için benzerlik parametresi ve ilişki katsayısının  $C_1-C_6$  kesidine uygulanması (a. benzerlik parametresi, b. ilişki katsayısı).

Fig. 7. Application of the likeness parameter and correlation coefficient to  $C_1-C_6$  profile for all depths (a. likeness parameter, b. correlation coefficient).



Şekil 8. Kıyaslama penceresinin  $C_1-C_6$  kesidine uygulanması (a.  $1 < h < 20$  m, b.  $20 < h < 70$  m, c.  $70 < h < 120$  m).  
 Fig. 8. Application of the comparison window to  $C_1-C_6$  profile (a.  $1 < h < 20$  m, b.  $20 < h < 70$  m, c.  $70 < h < 120$  m).



Şekil 9.  $D_1-D_6$  kesidine ait yatay katmanlı model yapı.  
Fig. 9. The structure model of horizontal layers on  $D_1-D_6$  profile.

raç seçilmiştir.  $A_3$  noktasında yapılan ilk uygulamadan elde edilen derinlik 70 m dir (Şekil 13). Bu değer ise üçüncü katmana kadar olan derinliği simgelemektedir (bkz. Şek. 13). Yüzey örtüsüne ait kalınlığın gözlenmemesi ise, seçilen kıyaslama penceresinin boyunun, katman kalınlığından büyük olması ve daha önce de değindiği gibi ilişki sınımasına giren değerlerin aynı tür özdirenç eğrisi sunmaları ile açıklanmaktadır. Benzer tarz yorumlamalar diğer uygulamalar için de (Şekil 14 ve 15) aynen geçerlidir.

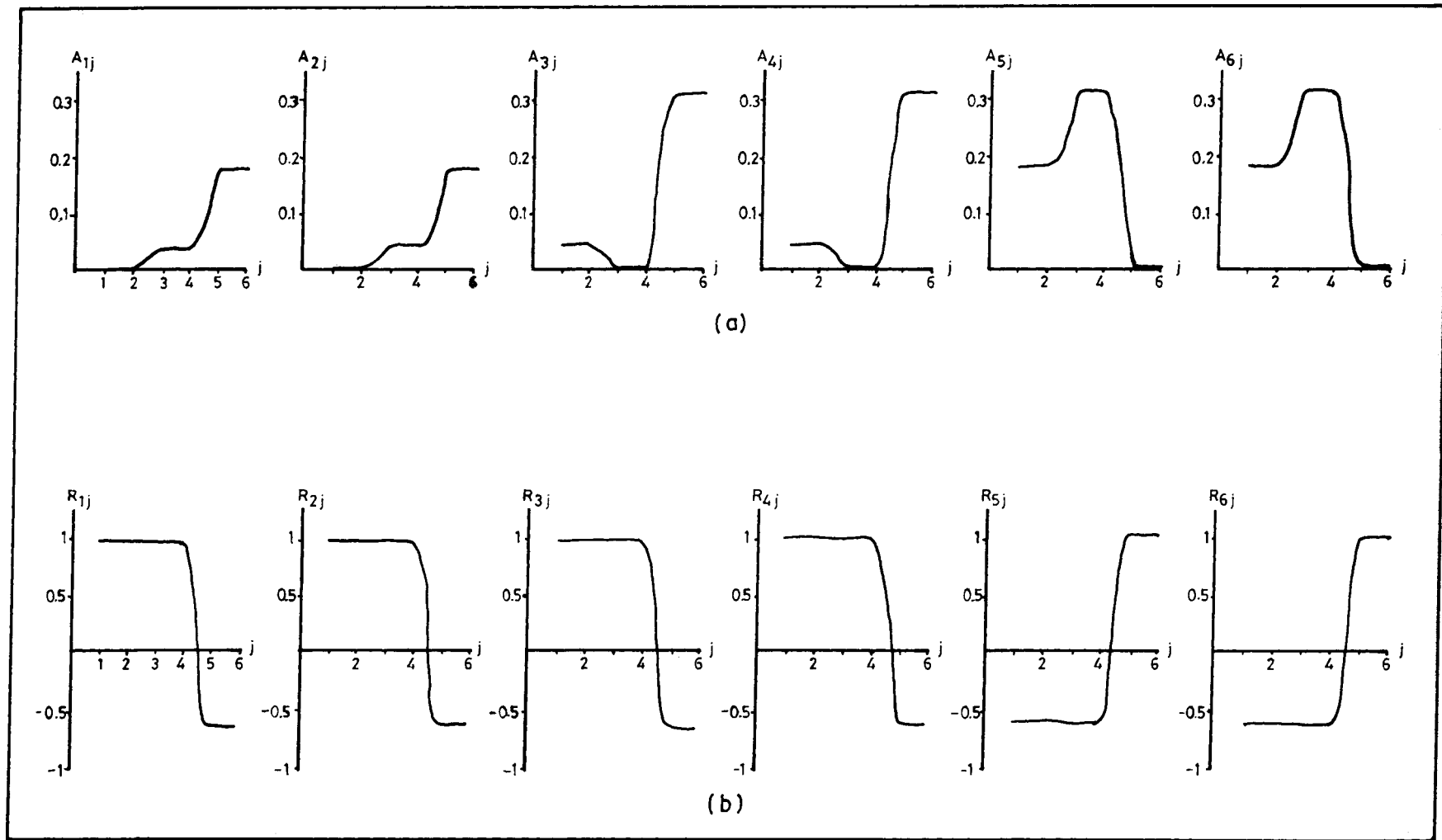
Sonuçta yöntemin, iki katmanlı yapılarda derinlik penceresinin birinci katman sınırları içinde kalması koşuluyla iki katmanlı yapılarda; birinci katmanın kalınlığının saptanmasından başarılı olduu görülmüştür.

#### Arazi Uygulamaları

Çalışma alanı Aydın İli Kuşadası İlçesinin kuzeydoğu-sunda yer alan Mağriboğlu yöresindedir.

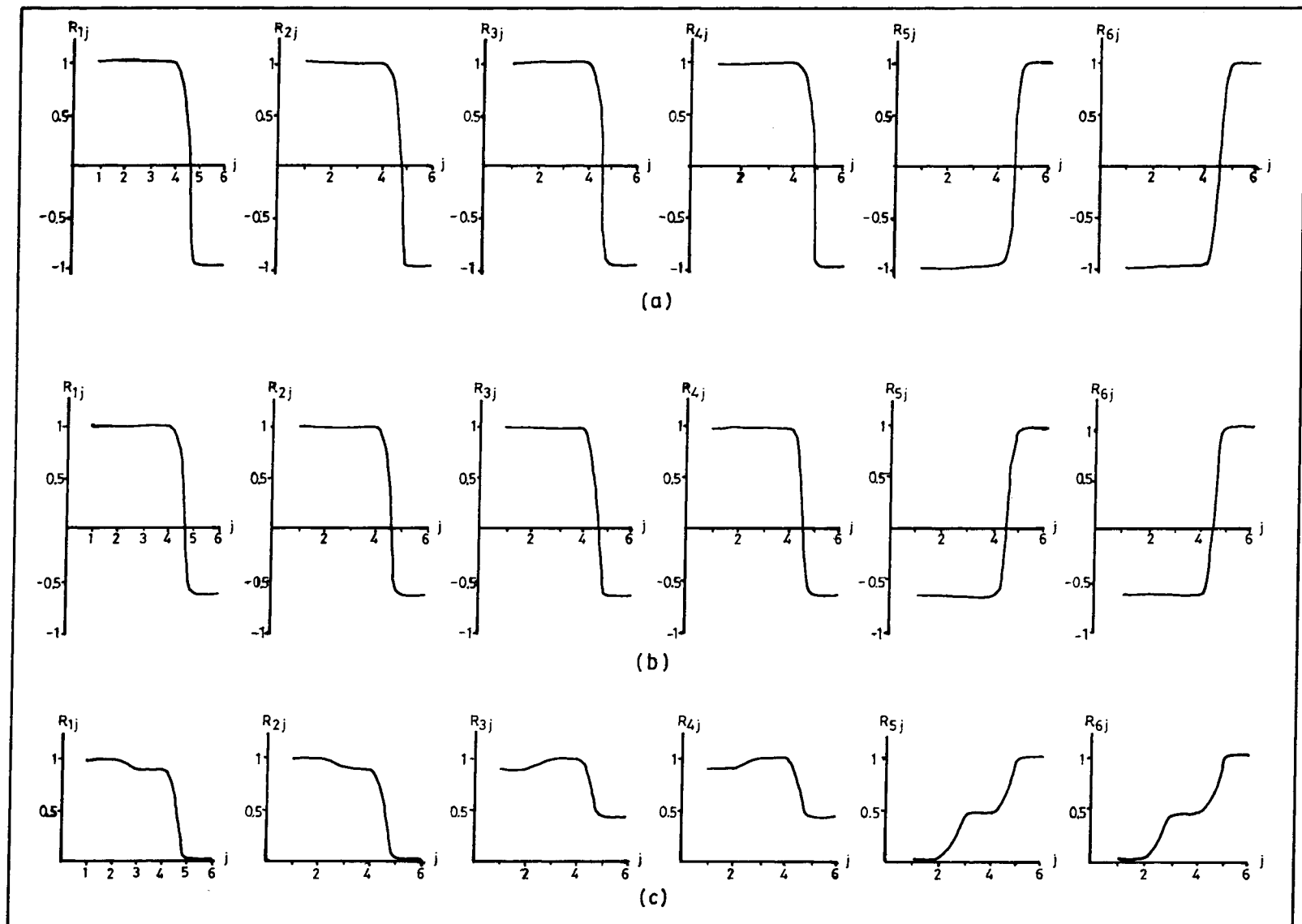
Yörenin genel stratigrafik istifi incelendiğinde, en alta Menderes Metamorfikleri'ne ait mermerler bulunmaktadır. Topografik olarak 300-400 m'ye varan yükselti sunan mermerler, kuvvetli kristalleşme ve deformasyon sonucu çataklı ve kırıkçı bir yapıya sahiptirler. Mermerlerin üzerine, Neojen yaşı birimler açısal uyumsuz olarak oturmuştur.

Alanda yapılan jeolojik çalışmalar sonucu, doğu-batı yönlü yaklaşık 50-70 m atımlı bir fay saptanmıştır. Fayın güney bloğu düşmüş ve düşen bloğun üstü Neojen serileri ile örtülüdür. Saptanan bu ana fay  $87^{\circ}-74^{\circ}$  ile güneşe eğimlidir (Şekil 16). Saptanan bu ana faya paralel, 250 m kuzeyde ikinci bir fay bulunmaktadır. Faylor boyunca ezilme ve kırılma zonları gözlemlenmektedir. Söz konusu bu faylar boyunca çeşitli yerlerden denize tatlı su boşalımları olmaktadır. Alanda su içeren yapılar olarak, bu faylar ve faylarla ilişkili olan kırıklar ve kırık sistemleri düşünülmektedir.

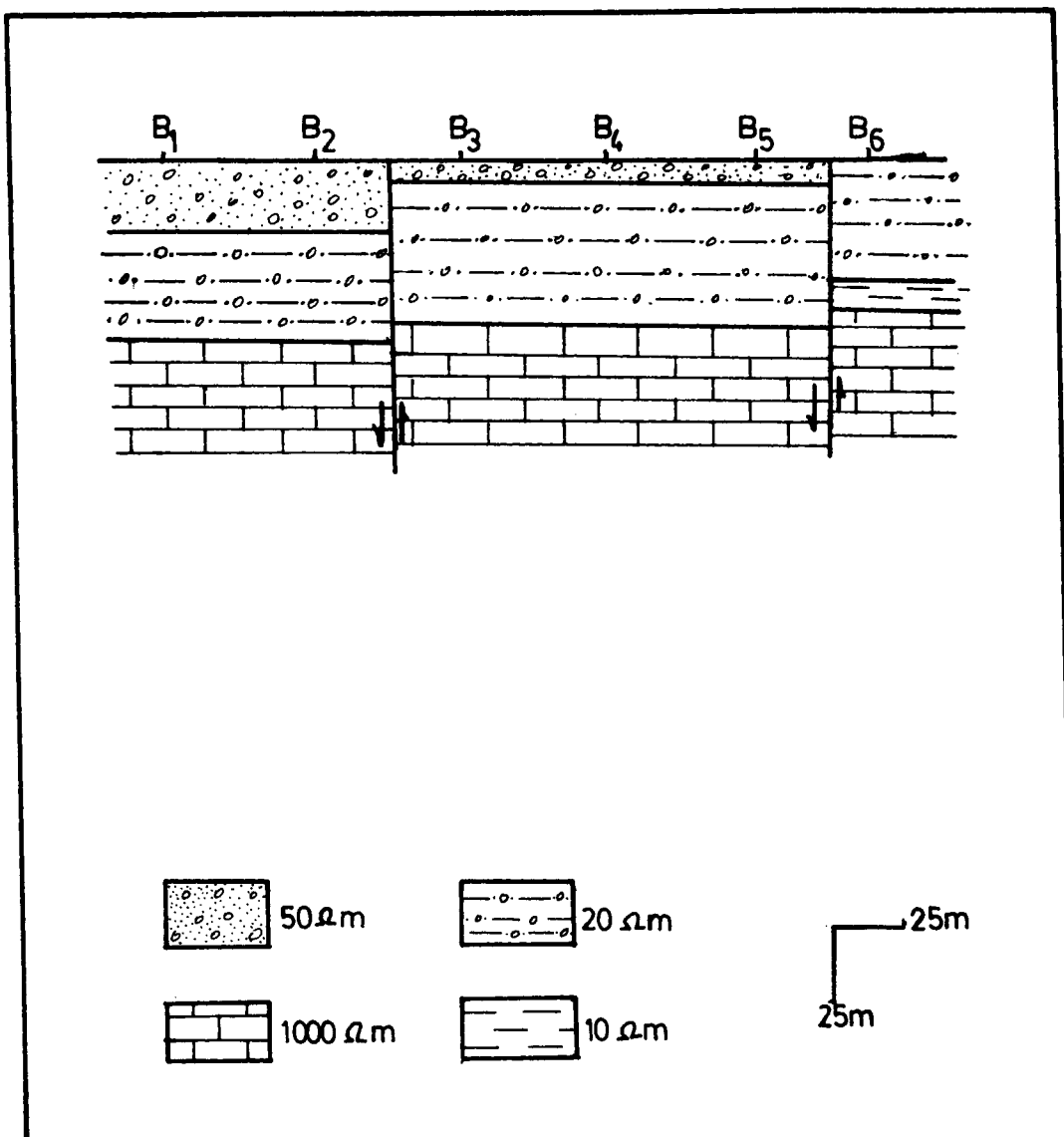


Şekil 10. Tüm derinlikler için benzerlik parametresi ve ilişki katsayısının  $D_1-D_6$  kesidine uygulanması (a. benzerlik parametresi, b. ilişki katsayısı).

Fig. 10. Application of the likeness parameter and correlation coefficient to  $D_1-D_6$  profile for all depths (a. likeness parameter, b. correlation coefficient).



Şekil 11. Kıyaslama penceresinin  $D_1$ - $D_6$  kesidine uygulanması (a.  $1 < h < 20$  m, b.  $20 < h < 70$  m, c.  $70 < h < 120$  m).  
 Fig. 11. Application of the comparison window to  $D_1$ - $D_6$  profile (a.  $1 < h < 20$  m, b.  $20 < h < 70$  m, c.  $70 < h < 120$  m).



Şekil 12. B<sub>1</sub>-B<sub>6</sub> kesidine ait yatay katmanlı model yapı.

Fig. 12. The structure model of the horizontal layers on B<sub>1</sub>-B<sub>6</sub> profile.

Bu nedenle fayların konumlarının ve fiziksel özelliklerinin ortaya konması için DES ölçümleri ve ölçüm noktaları arasında ilişki sınıması yapılmıştır.

#### İlişki Sınaması Uygulaması

Çalışma alanında araştırma derinliği 80 m, ölçüm aralığı 40 ar m olan 15 adet ölçüm yapılmıştır (Şekil 16). DES larinin açılım doğrultuları yaklaşık D-B yönünde seçilmiştir.

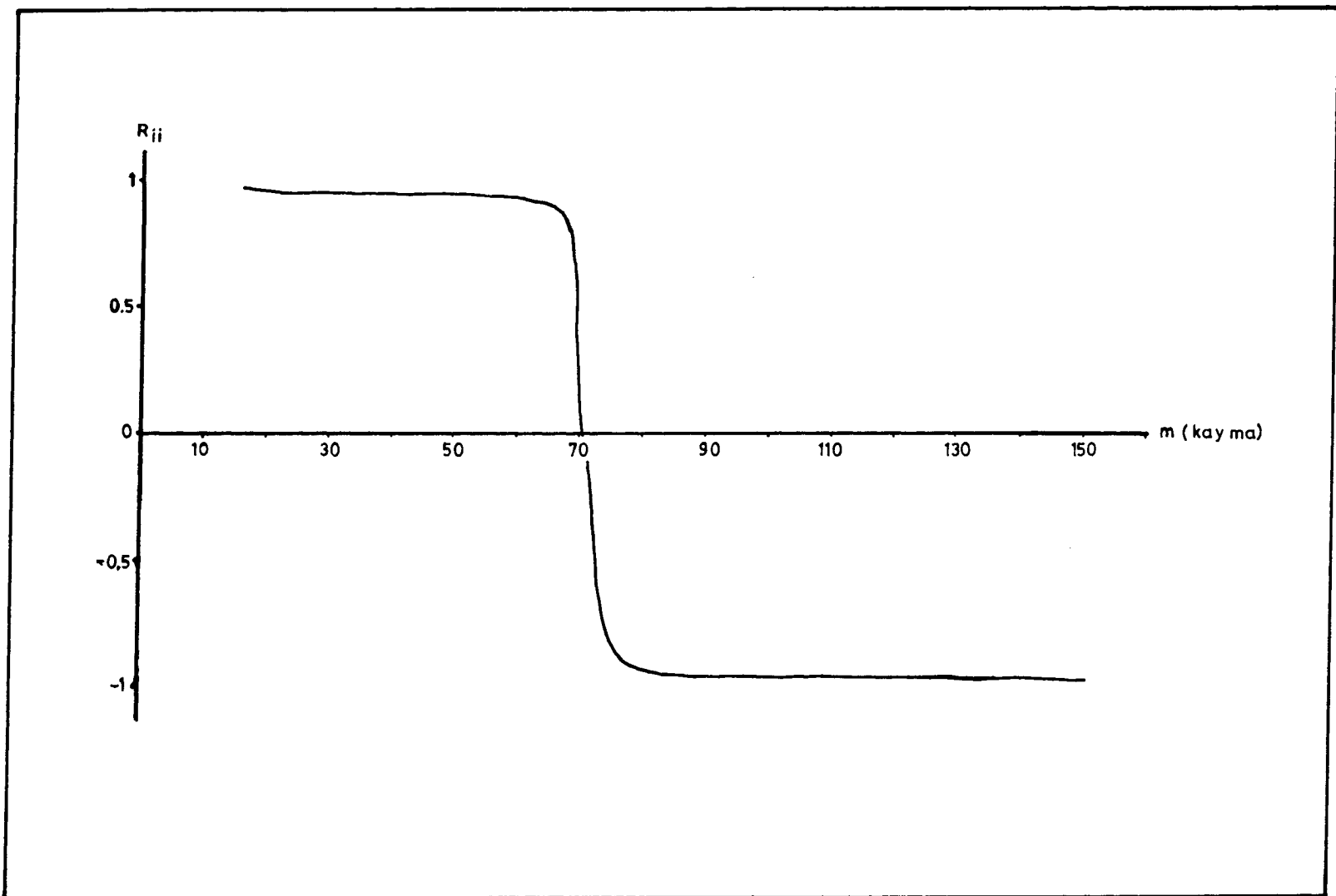
Yapılan bu ölçümülerden elde edilen özdirenç değerleri yardımıyla ilişki katsayıları, birinci aşamada tüm derinlikler için, ikinci aşamada ise kıyaslama penceresi kullanılarak (5-40 m) hesaplanmış ve bu değerlerden yararlanarak da ilişki profilleri oluşturulmuştur.

Tüm derinlikler kullanılarak oluşturulan ilişki profilleri Şekil 17a, 17b ve 17c de görülmektedir. Şekiller incelendiğinde A-A' profilinde, hiçbir fay belirtisi gözlenmezken (kesidi oluşturan tüm DES noktalarına ait ilişki katsayısının 1 olması,

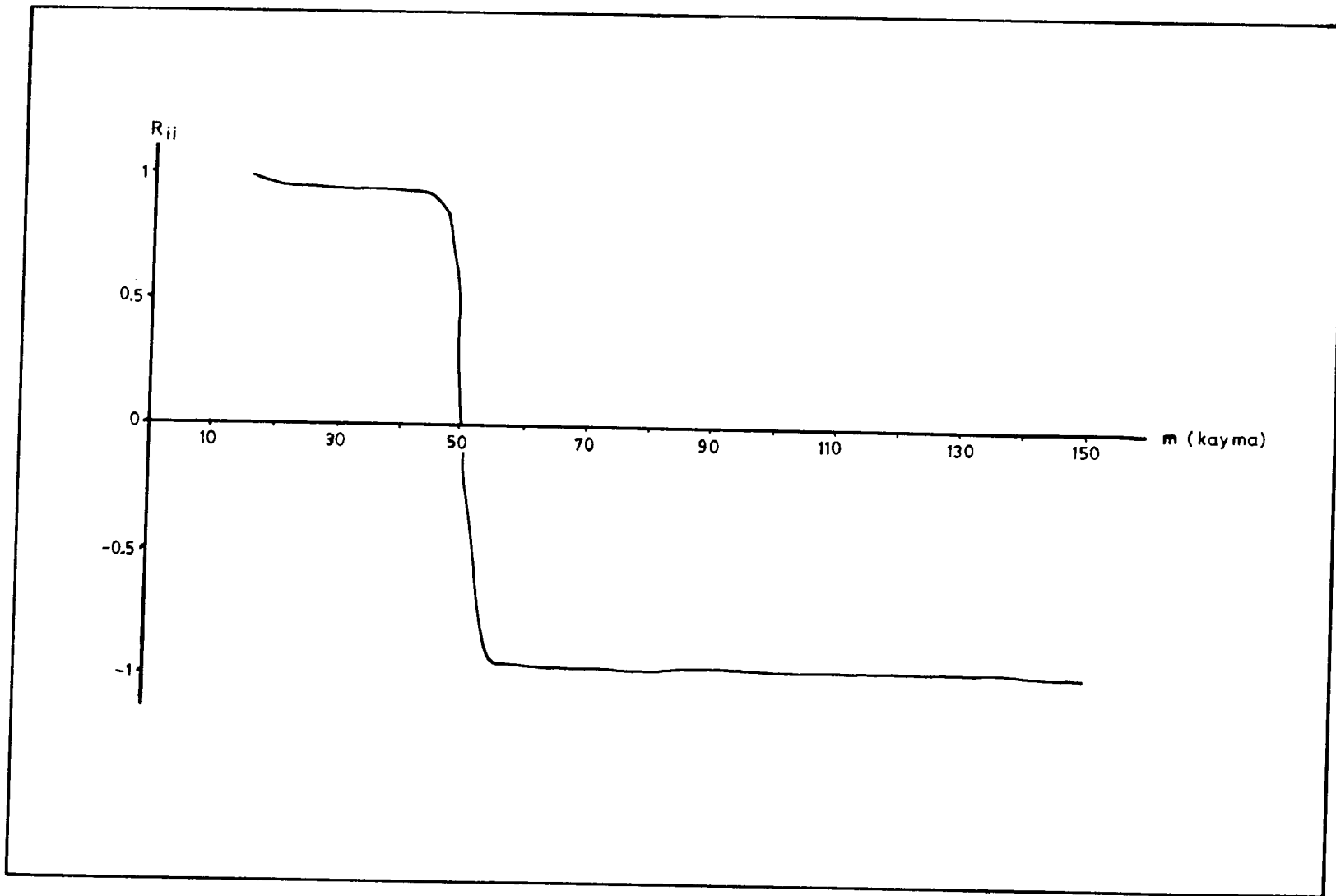
tüm DES noktalarının birbiri ile aynı ortamda olduğunu gösterir), B-B' profilinde 4 nolu nokta civarında ve C-C' porfilinde ise 3 ve 4 nolu noktalar civarında fay belirtisi gözlenmektedir.

Kıyaslama penceresi ( $5 < h < 40$  m) kullanılarak oluşturulan ilişki profilleri Şekil 18a, 18b ve 18c de verilmektedir. Şekiller incelendiğinde, yukarıda değinilen bulgulara benzer bulgularla karşılaşmaktadır. Yine A-A' profilinde belirgin bir fay belirtisi gözlenmezken, B-B' profilinde 4 nolu nokta ve C-C' profilinde de 3 nolu nokta civarında fay belirtisi gözlenmektedir.

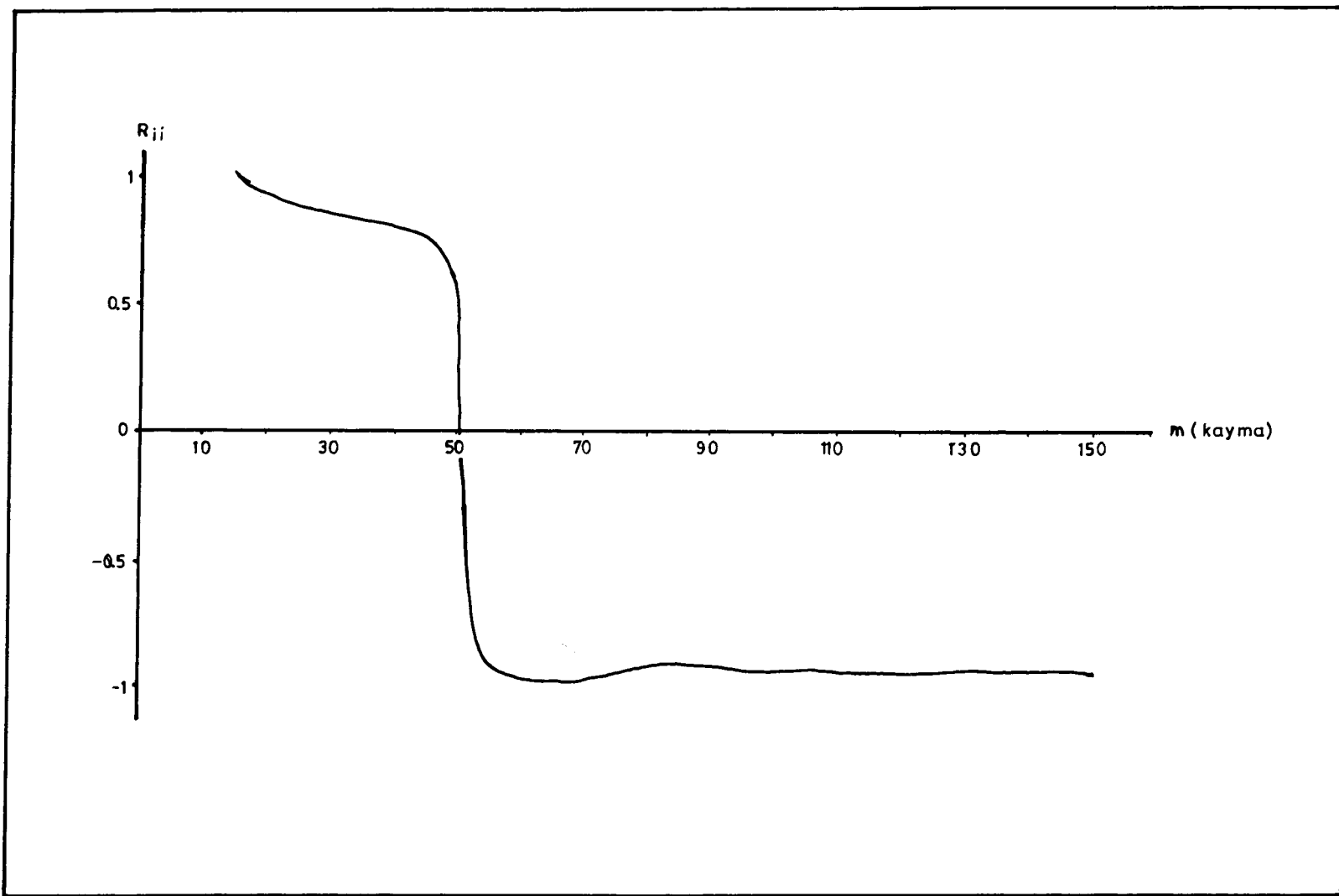
Tüm bulgular birarada değerlendirildiğinde sonuçların oldukça uyumlu olduğu söyleyebilir Ancak C-C' profilinde kıyaslama penceresi sonuçlarında 3 nolu nokta civarında gözlenen belirtiye, tüm derinlikler için yapılan uygulamada 3 ve 4 nolu noktalar arasında rastlanmaktadır. Sonuçta elde edilen bulgulardan yararlanılarak saptanan fayın konumu Şekil 16'da görülmektedir. Şekilden de izlenebileceği gibi, jeolojik olarak



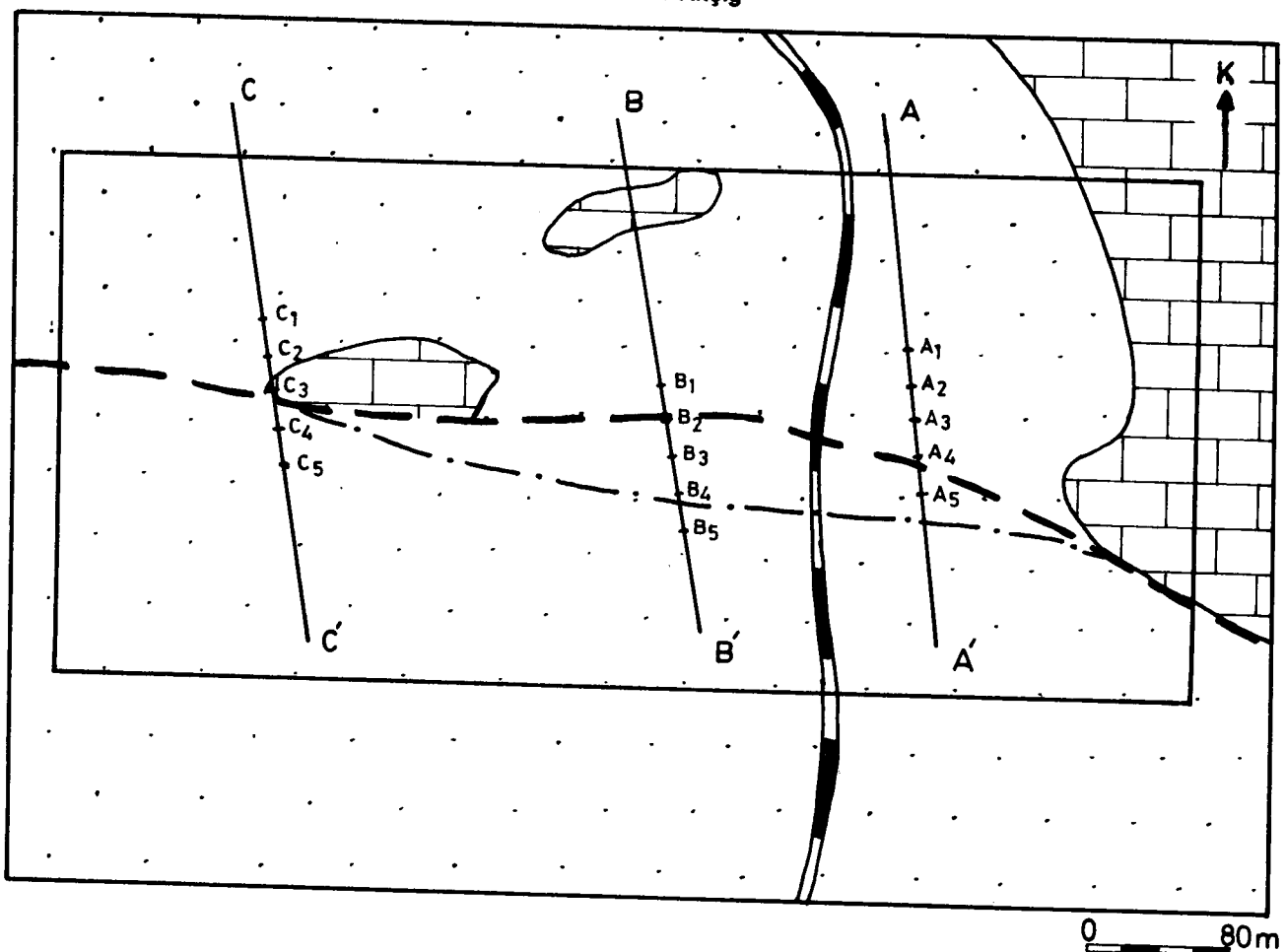
Şekil 13.  $A_3$  DES na ait katman kalınlıklarının korelasyon katsayısı yöntemi kullanılarak belirlenmesi ( $h_1 = 70$  m).  
Fig. 13. Determination of the layer's thickness of  $A_3$  sounding by using correlation coefficient method ( $h_1 = 70$  m).



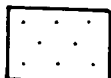
Şekil 14.  $B_3$  DES na ait katman kalınlıklarının korelasyon katsayısı yöntemi kullanılarak belirlenmesi ( $h_1 = 50$  m)  
 Fig. 14. Determination of the layer's thickness of  $B_3$  sounding by using correlation coefficient method ( $h_1 = 50$  m).



Şekil 15.  $B_6$  DES na ait katman kalınlıklarının korelasyon katsayısı yöntemi kullanılarak belirlenmesi ( $h_1 = 50$  m).  
Fig. 15. Determination of the layer's thickness  $B_6$  sounding by using correlation coefficient method. ( $h_1 = 50$  m).



### AÇIKLAMALAR

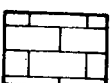


**NEOJEN**

Kilitaşları ve arada Kumtaşı-  
Miltası arakatkıları  
Yer yer açık kıvrımlı

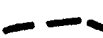


**Uyumsuzluk Sınırı**



**Menderes  
Metamorfikleri**

Kireçtaşı, bol çatlak ve  
kırıklı, kristalize



**Jeolojik Fay**

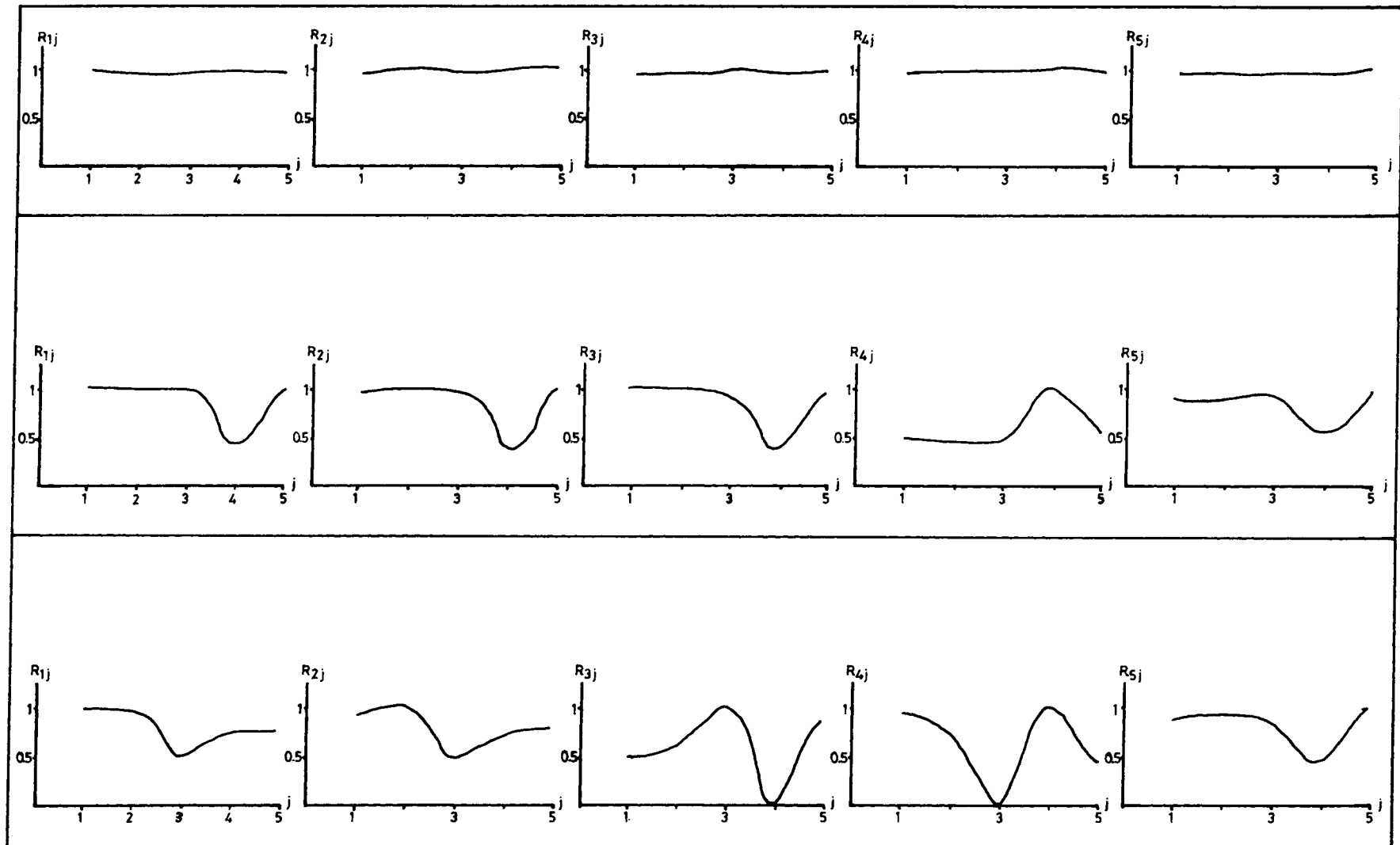


**Jeofizik Fay**



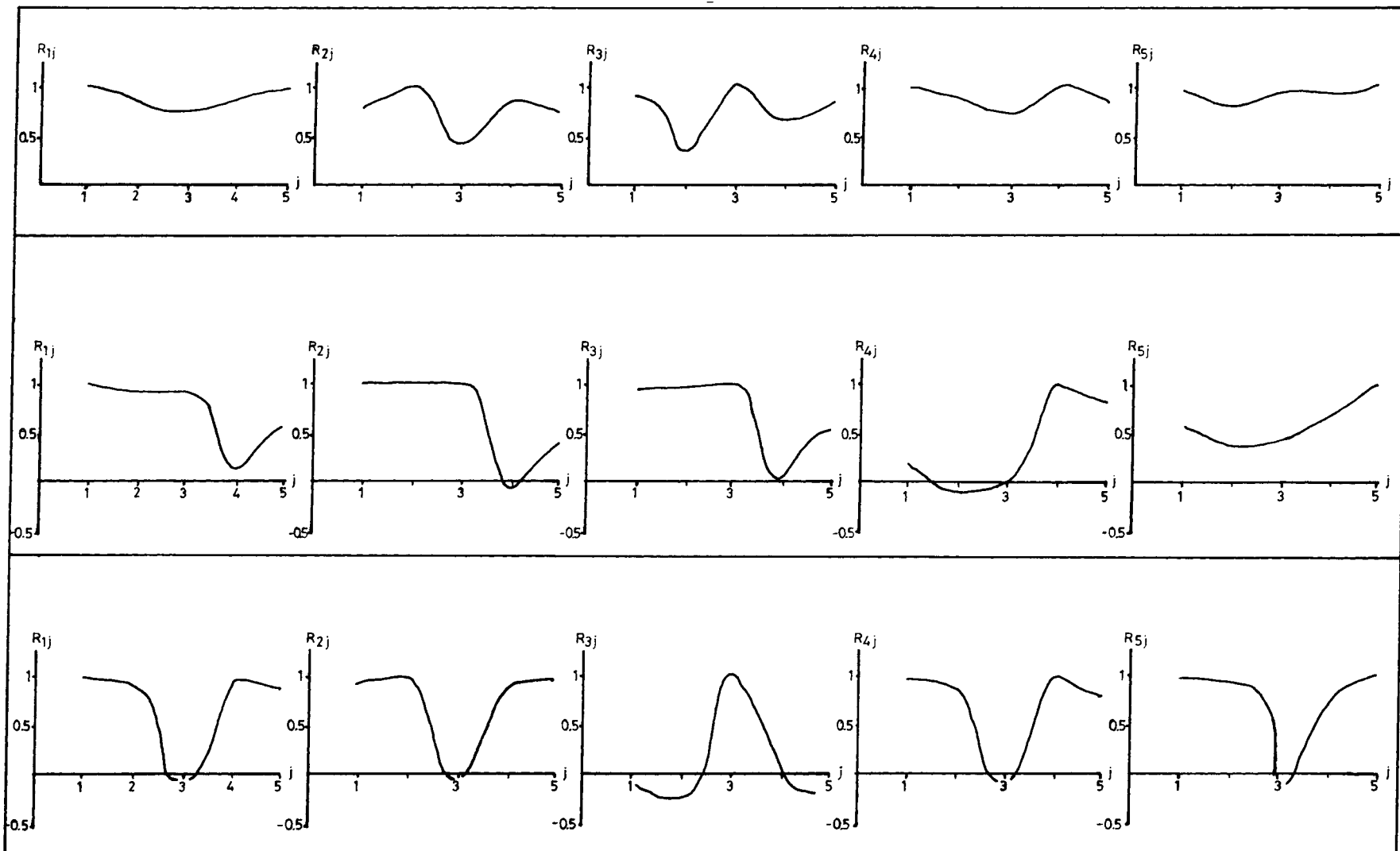
**Karayolu**

Şekil 16. Jeolojik harita.  
Fig. 16. Geological map.



Şekil 17. İlişki katsayısunin A-A' kesidine uygulanması (tüm derinlikler) (a), İlişki katsayısunin B-B' kesidine uygulanması (tüm derinlikler) (b) ilişti katsayısunin C-C' kesidine uygulanması (tüm derinlikler) (c).

Fig. 17. Application of the correlation coefficient to A-A' profile (all depths) (a), application of the correlation coefficient to B-B' profile (all depths) (b), application of the correlation coefficient to C-C' porfile (all depths) (c).



Şekil 18. Kiyaslama penceresinin A-A' kesidine uygulanması ( $5 < h < 40$  m) (a), kiyaslama penceresinin B-B' kesidine uygulanması ( $5 < h < 40$  m) (b), kiyaslama penceresinin C-C' kesidine uygulanması ( $5 < h < 40$  m) (c).

Fig. 18. Application of the comparison window to A-A' profile ( $5 < h < 40$  m) (a), application of the comparison window to B-B' profile ( $5 < h < 40$  m) (b), application of the comparison window to C-C' profile ( $5 < h < 40$  m) (c).

saptanan fay, jeofizik verilerden saptanan fay ile oldukça iyi uyum göstermektedir.

## SONUÇLAR

Yapılan bu çalışma sonucu elde edilen bulgular aşağıda sırasıyla verilmektedir;

- 1) Benzerlik parametrelerinin saptanmasında çok önemli olan C katsayısının (Habberjam'ın önerdiği) seçiminde kriterler belirsizdir.
- 2) Değişik uygulamalar sonucu elde edilen bulgulardan, istatistiksel bir yaklaşım olan ilişki parametresi kullanımının, benzerlik parametresine göre daha anlamlı olduğu görülmüştür.
- 3) Gerek tüm derinlikler, gerekse değişik derinlik pencereleri kullanılarak yapılan ilişki uygulamaları sonucu, yanal süreksızlık sınırları başarılı bir şekilde saptanmıştır.
- 4) Süreksızlık sınırlarının saptanmasında, gözardi edilmemesi gereken nokta ise yöntemin aynı tür yapılar içindeki süreksızlıkları (Neojen içi faylanmalar gibi) saptamada aynı başarıyı gösteremediğidir.
- 5) Derinlik penceresinin, aynı sondaj eğrisi üzerinde kaydırılarak uygulanması sonucu, iki katmanlı yapılarda birinci katmanın kahnlığı belirlenebilmektedir.
- 6) Yöntemin, üç veya daha fazla katmanlı yapılarda uygulanması ise bazı sorunlar taşımaktadır. Bu nedenle sorun-

ları giderici yeni çalışmaların yapılması gereklidir.

7) Yöntem gerçek arazi verilerine uygulanarak oldukça başarılı sonuçlar elde edilmiştir. Arazide jeolojik olarak gözlenmiş fayın, yöntemin uygulanması sonucunda biraz daha güneyden geçtiği saptanmıştır.

Tüm bulgular birarada değerlendirildiğinde; ilişki katsayısı yönteminin, benzerlik parametresi yöntemine göre fiziksel olarak daha anlamlı ve doğru sonuçlar verdiği ve katman kahnlıkları ile süreksızlıkların saptanmasında başarıyla uygulanabileceği sonuçlarına ulaşılmıştır.

## KAYNAKLAR

- Çakır, E. 1984, İzmir-Seferihisar Alanında Gravite ve Özdirenç Çalışmaları, D.E.Ü. bitirme çalışması, İzmir.
- Ghosh, D.P. 1970, The application of linear filter Theory to the direct interpretation of geoelectrical resistivity sounding measurements, Geophysical Prospecting 19, 192-217.
- Habberjam, G.M. 1976, The comparison of sounding result and their interpretation in the absence of borehole control, Geoexploration 14, 215-228.
- Habberjam, G.M. 1979, Apparent resistivity observations and the use of square array techniques, Geoexploration Monographs 1, 9, 46-66.
- Koefed, D. 1979, Geosounding Principles. 1. Resistivity sounding measurements, Vol. 14A in Methods in Geochemistry and Geophysics, Elsevier, Amsterdam.
- Kutlu, M.A. 1987, Aydin-Germencik Jeotermal Sahasının Özdirenç Değerlendirmesi, D.E.Ü. bitirme çalışması, İzmir.